

Fig. 1A

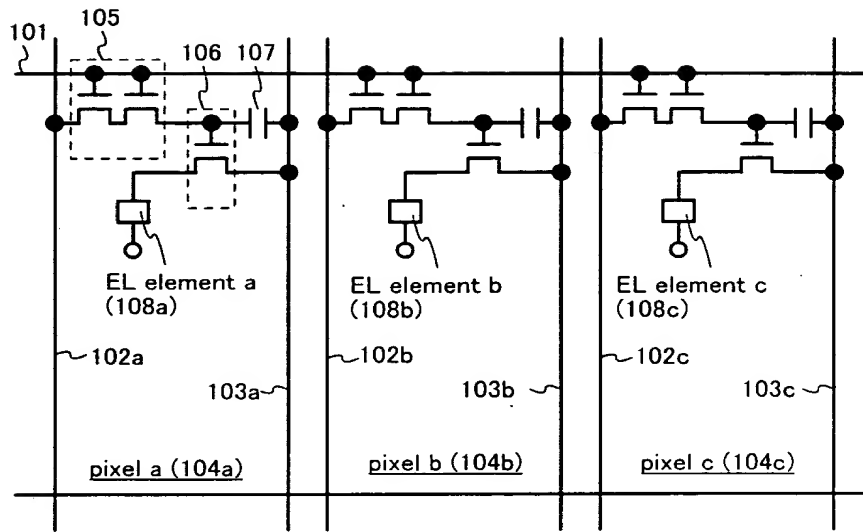
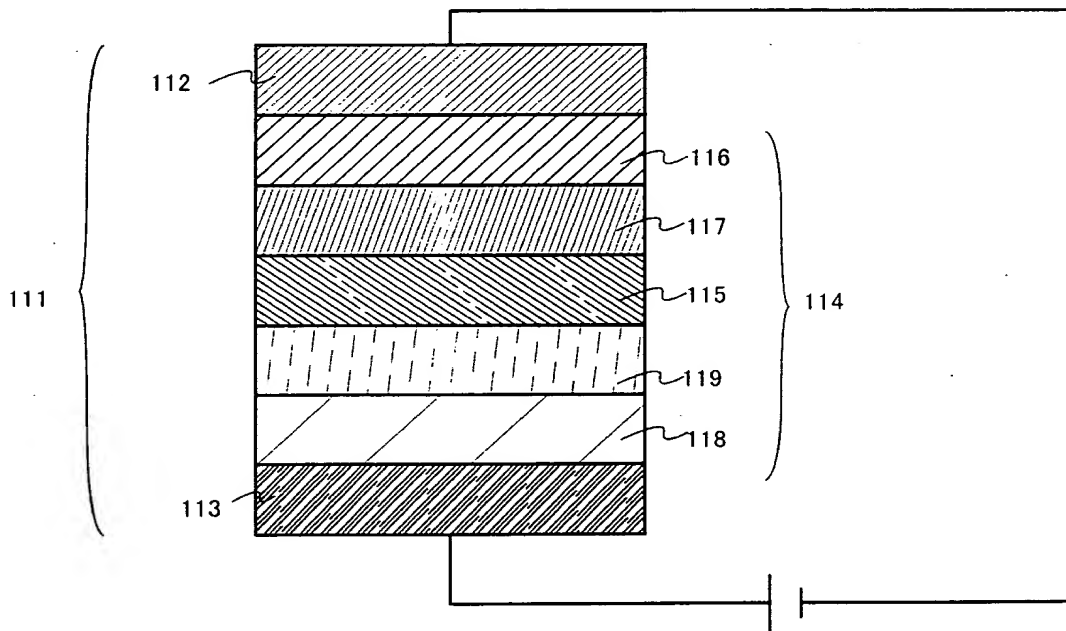


Fig. 1B



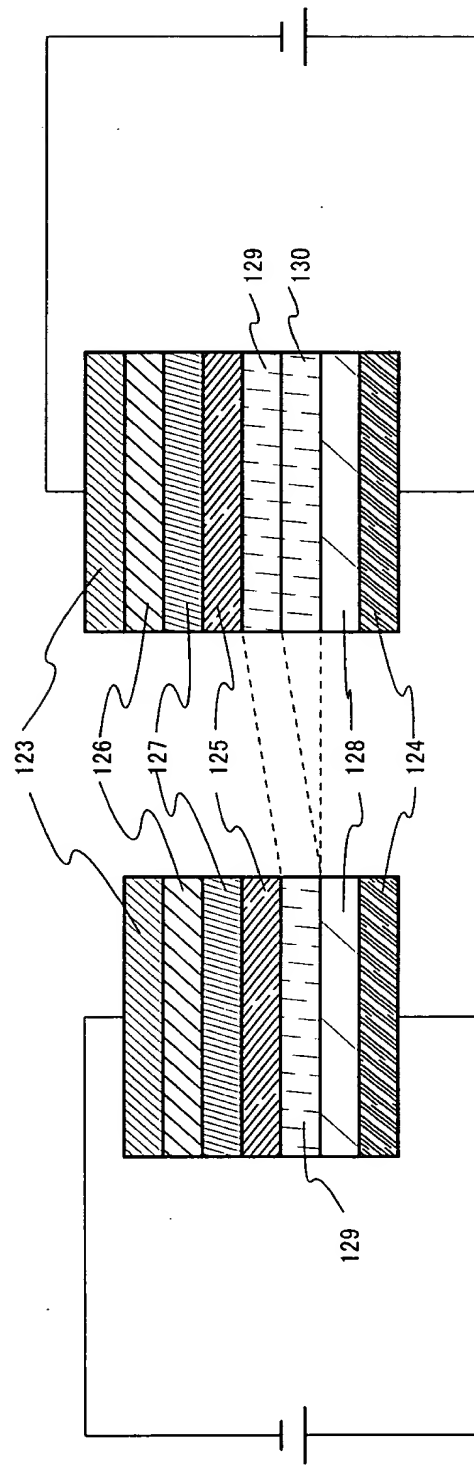


Fig. 2B

Fig. 2A

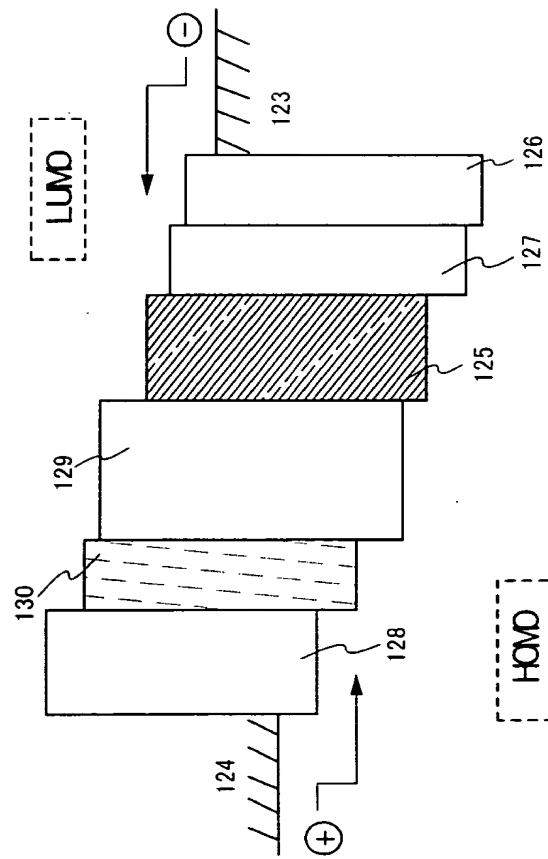


Fig. 2C



Fig. 3A

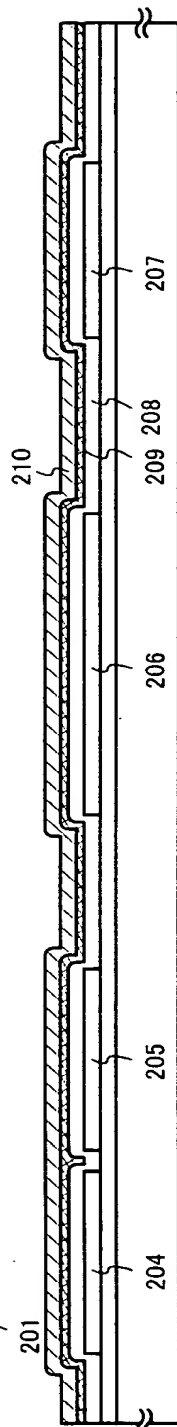


Fig. 3B

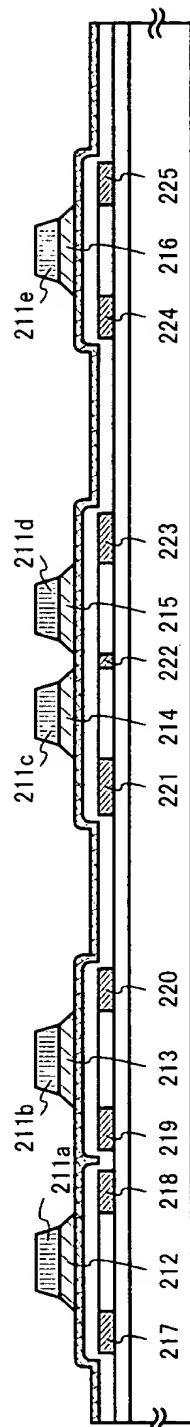


Fig. 3C

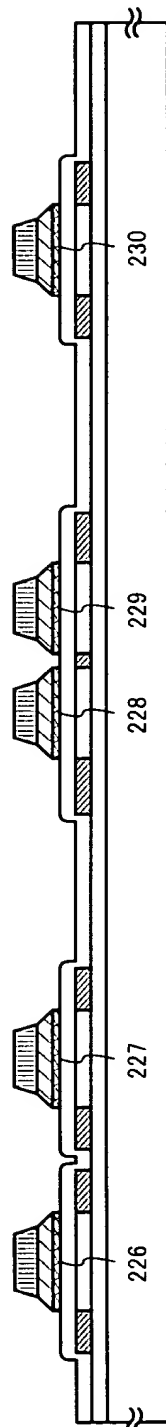


Fig. 3D

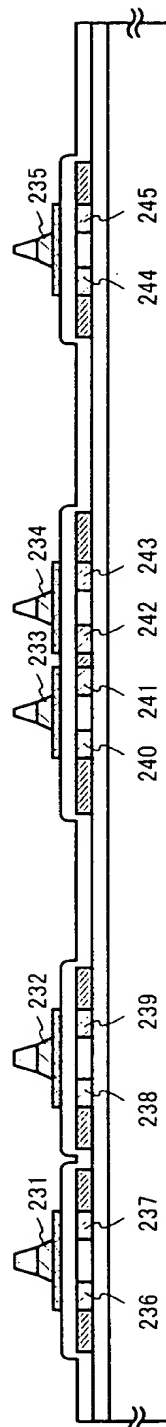


Fig. 3E

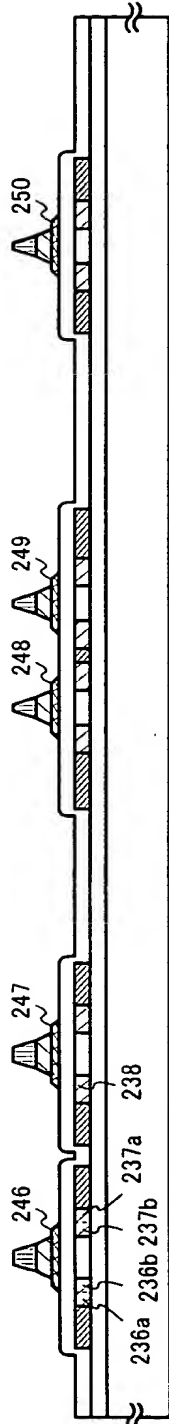


Fig. 4A

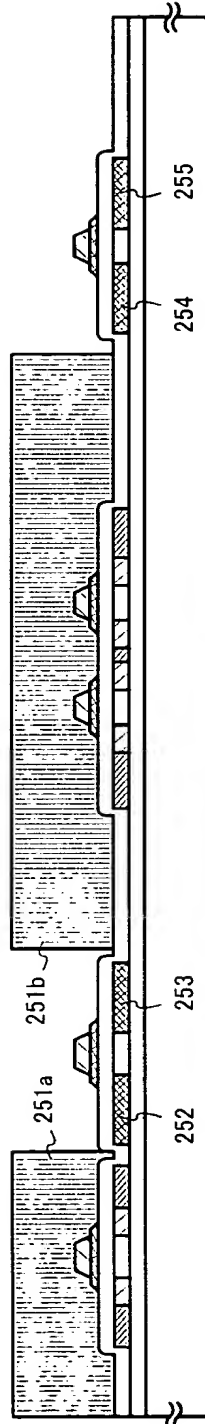


Fig. 4B

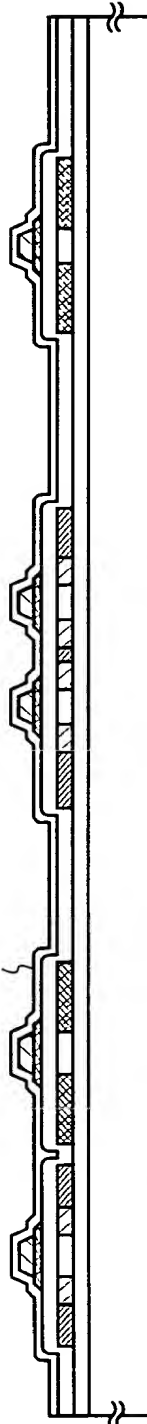


Fig. 4C

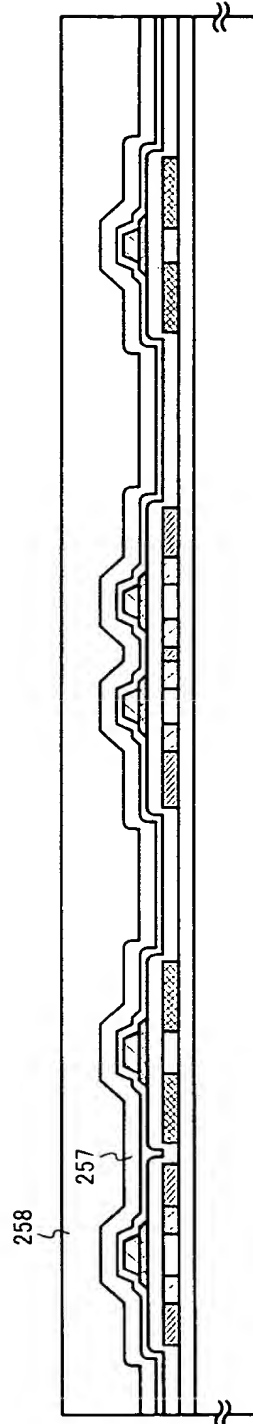


Fig. 4D

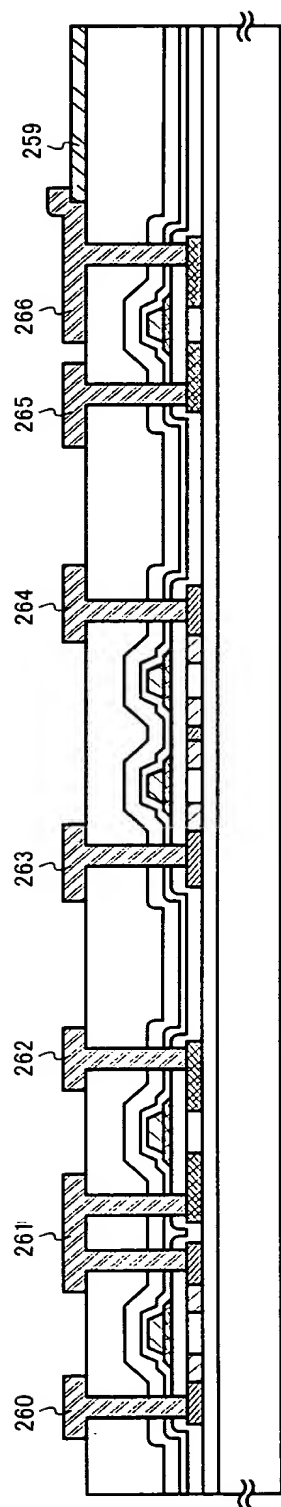
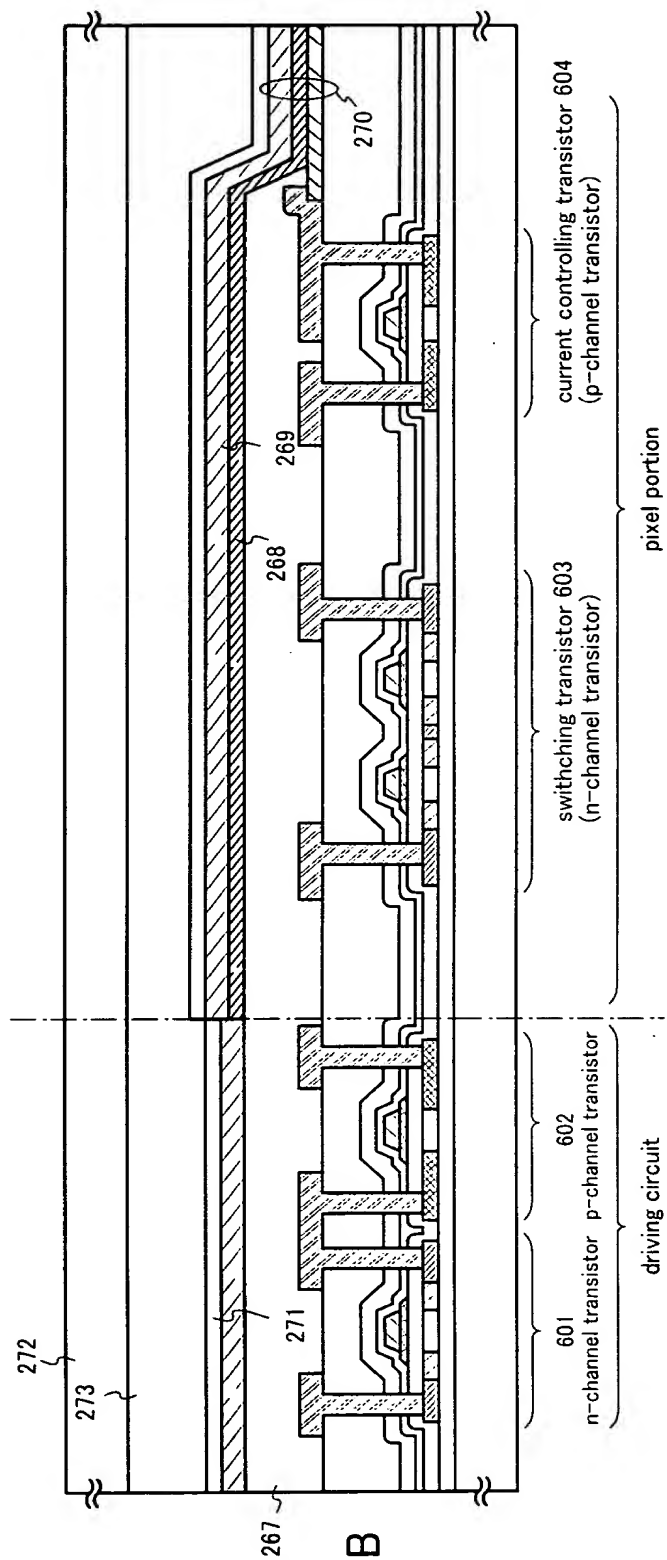


Fig. 5A



Fi⁵⁰
5B

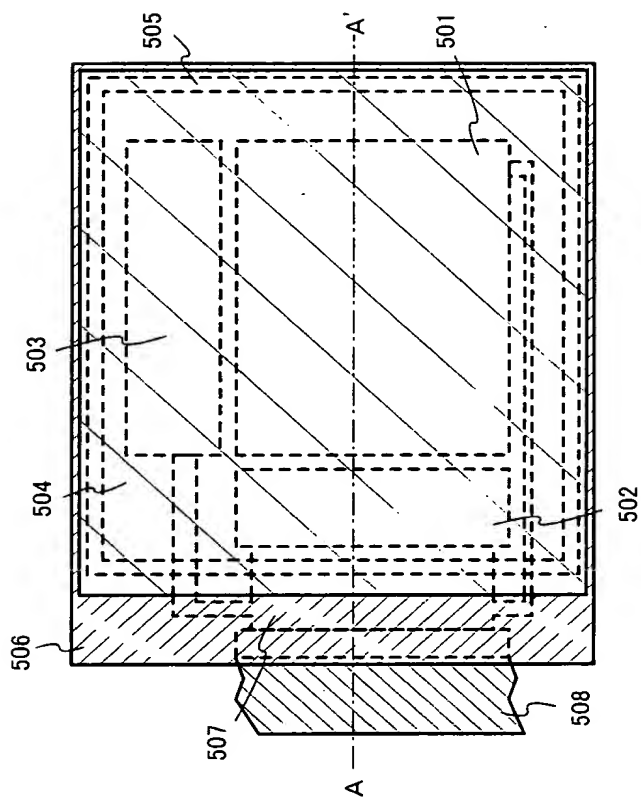


Fig. 6A

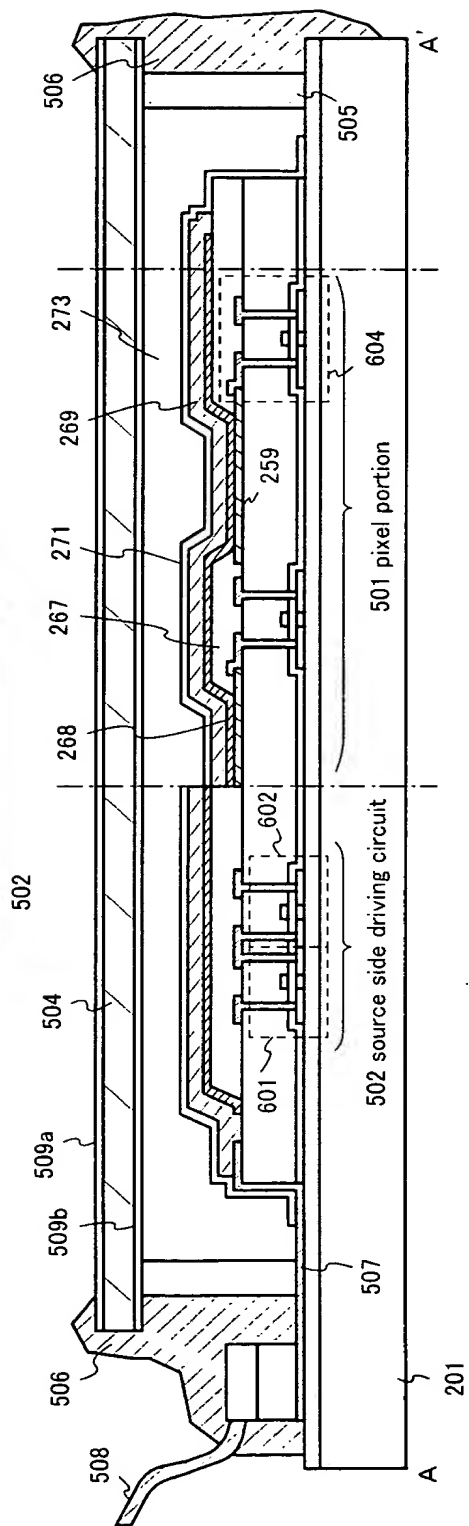


Fig. 6B

Fig. 7A

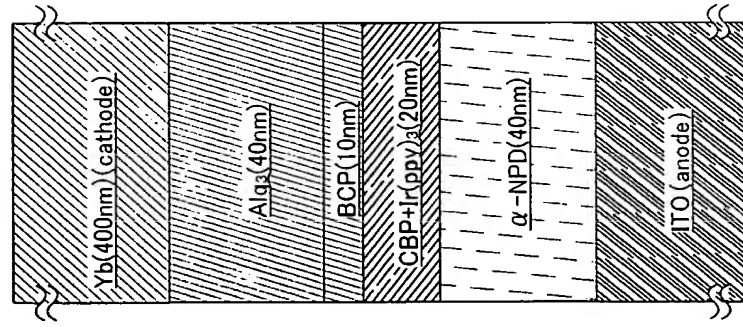


Fig. 7B

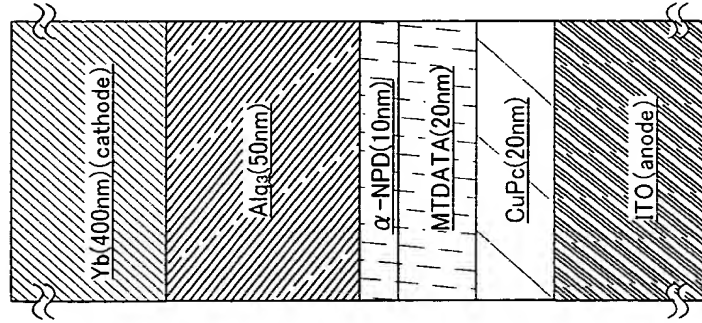


Fig. 7C

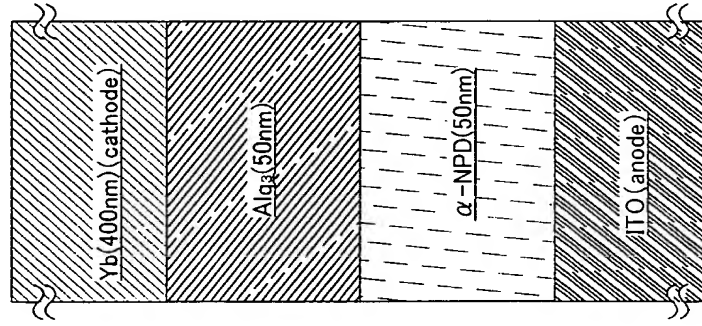


Fig. 7D

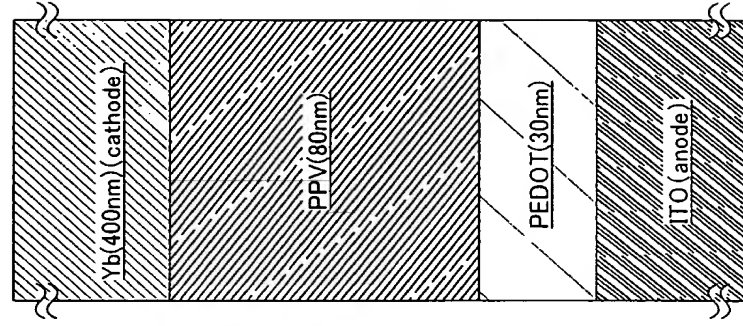


Fig 8A

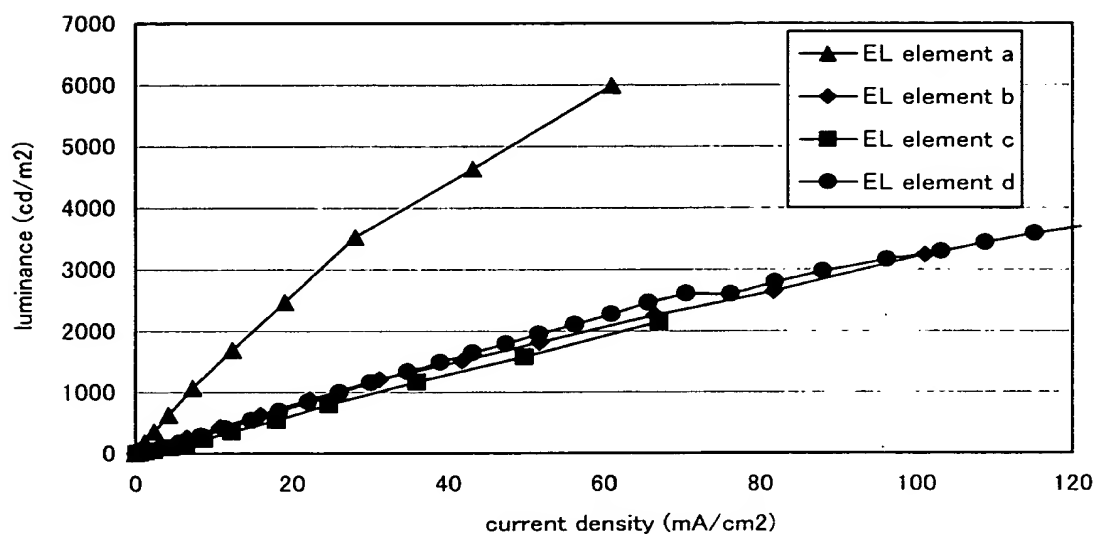


Fig 8B

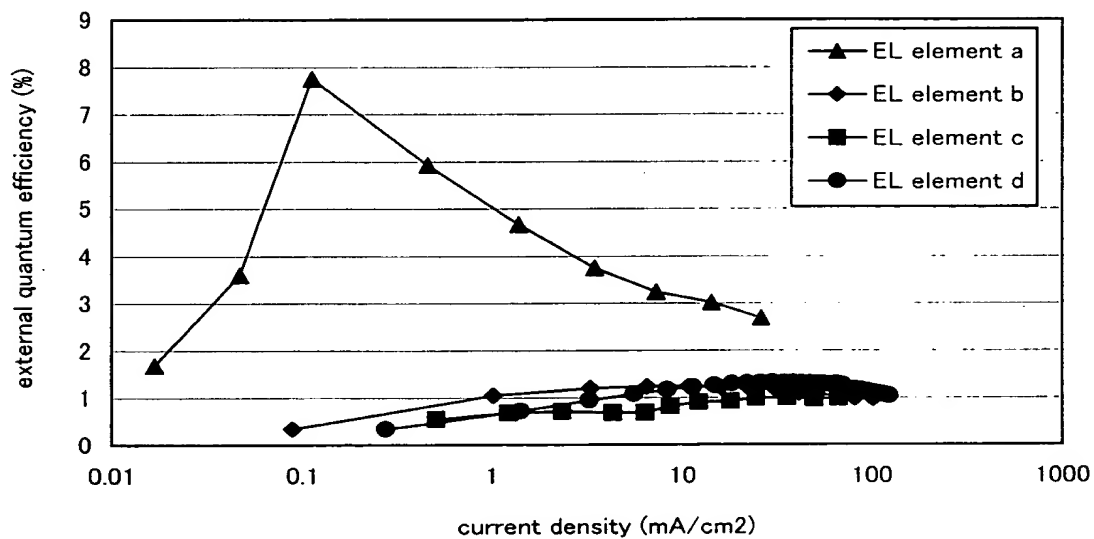


Fig. 9A

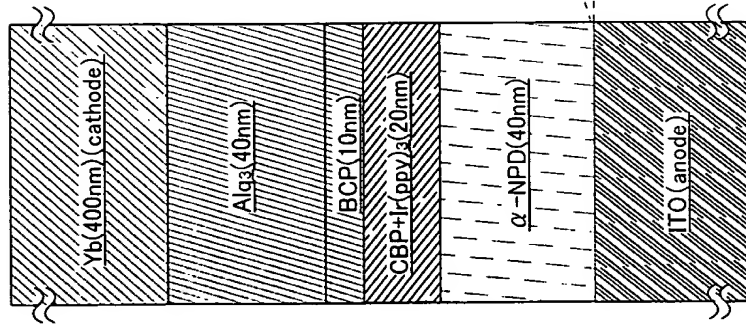


Fig. 9B

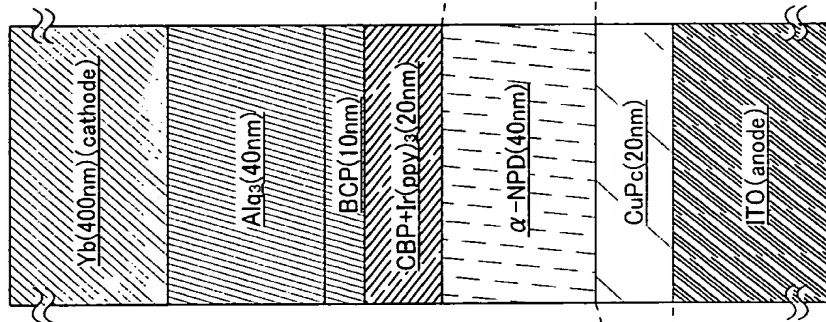


Fig. 9C

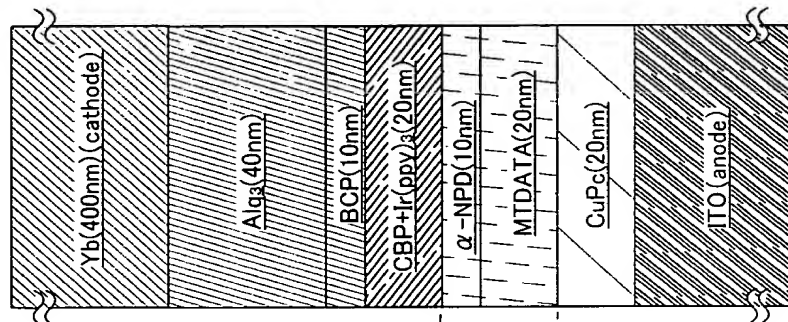


Fig. 10A

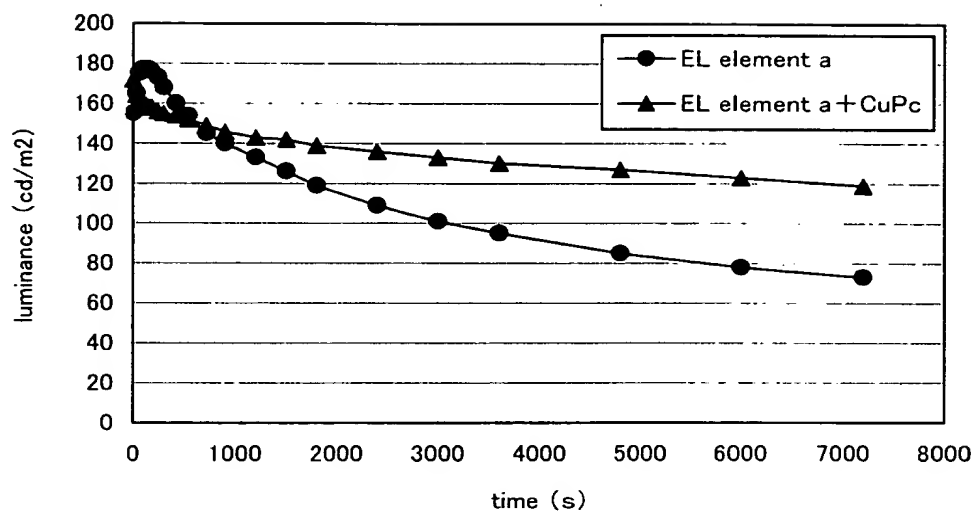


Fig. 10B

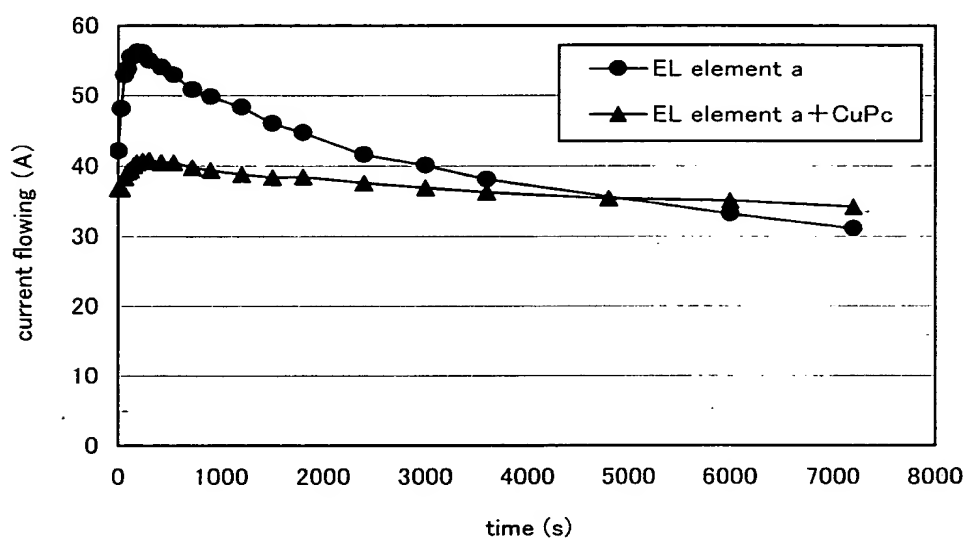


Fig. 11A

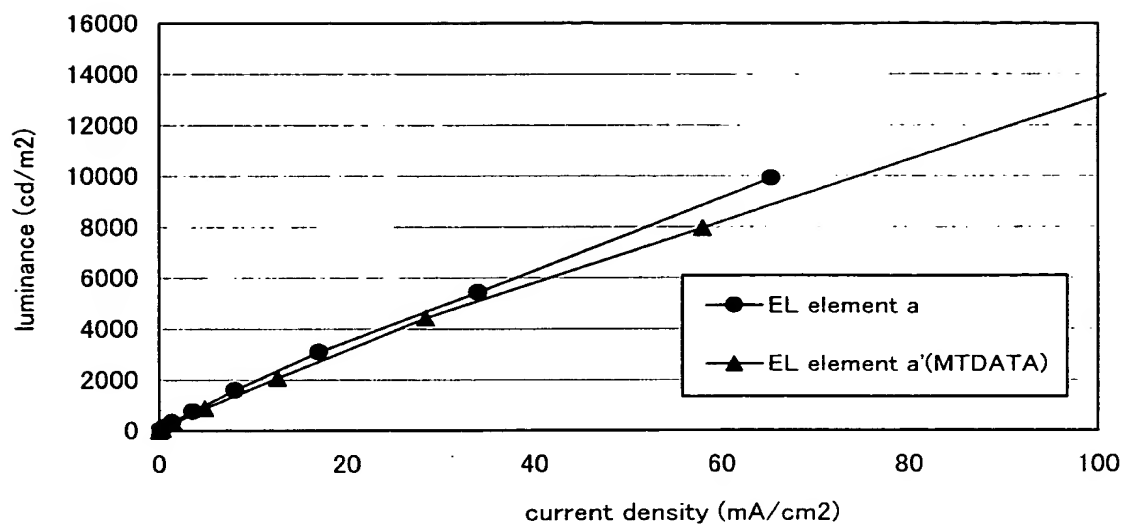


Fig. 11B

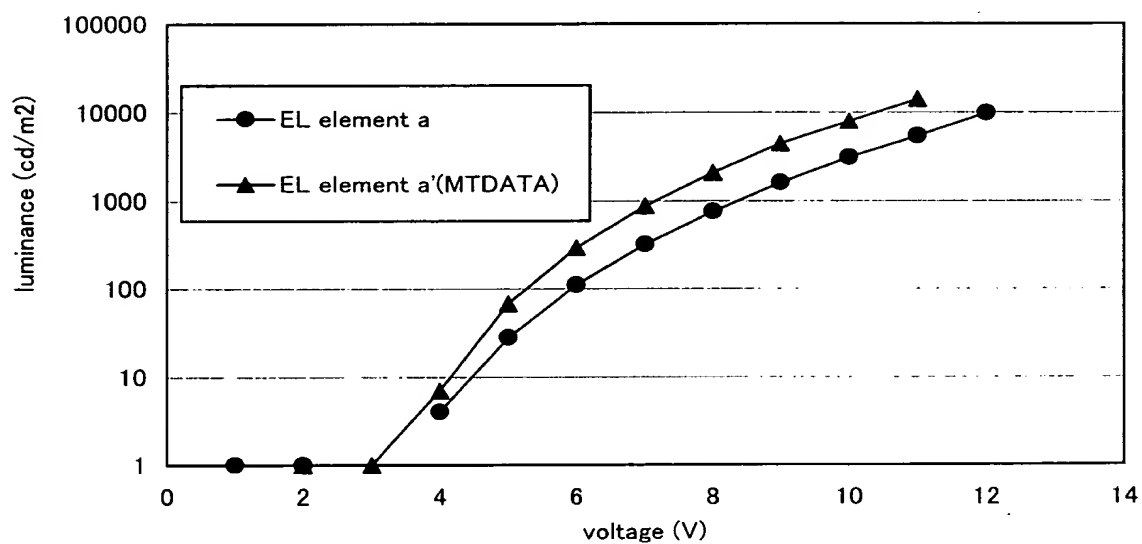
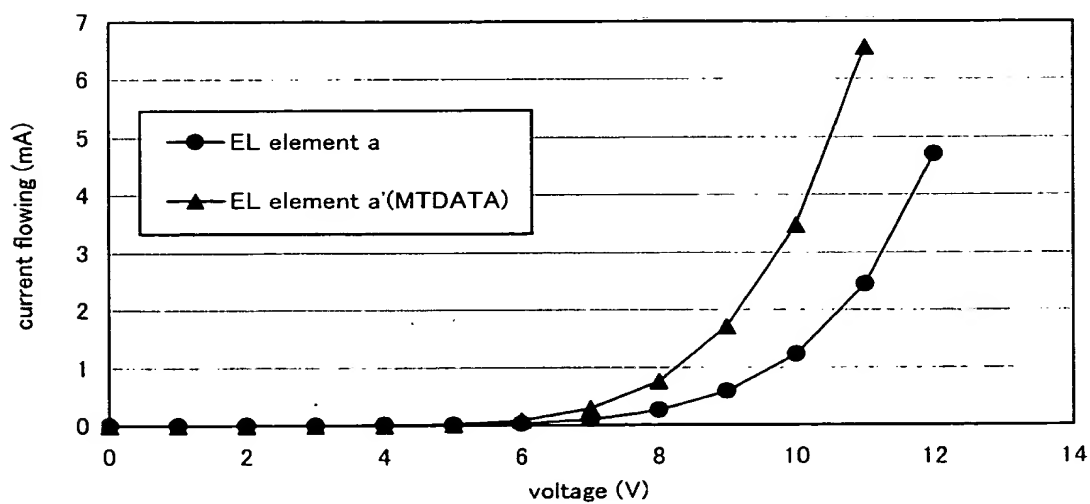


Fig. 11C



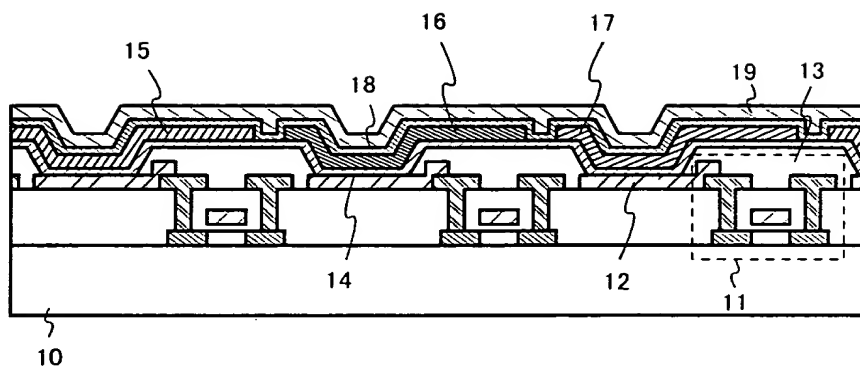


Fig. 12

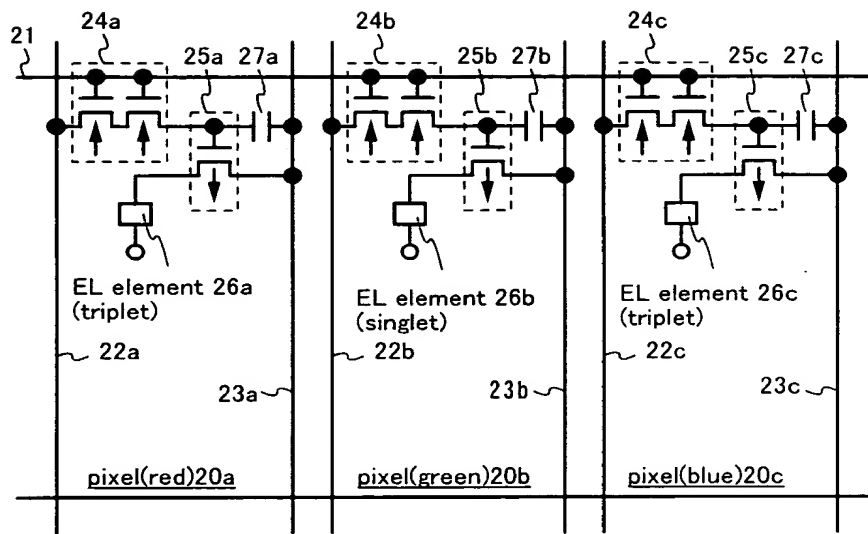


Fig. 13A

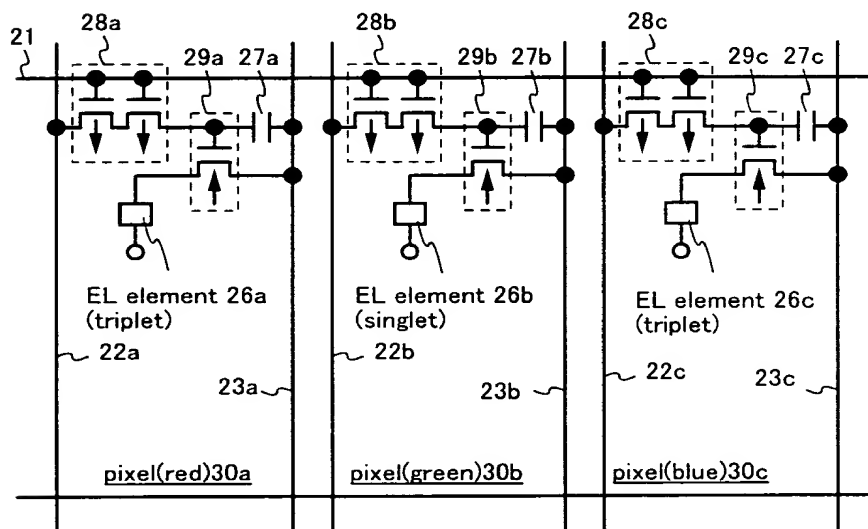


Fig. 13B

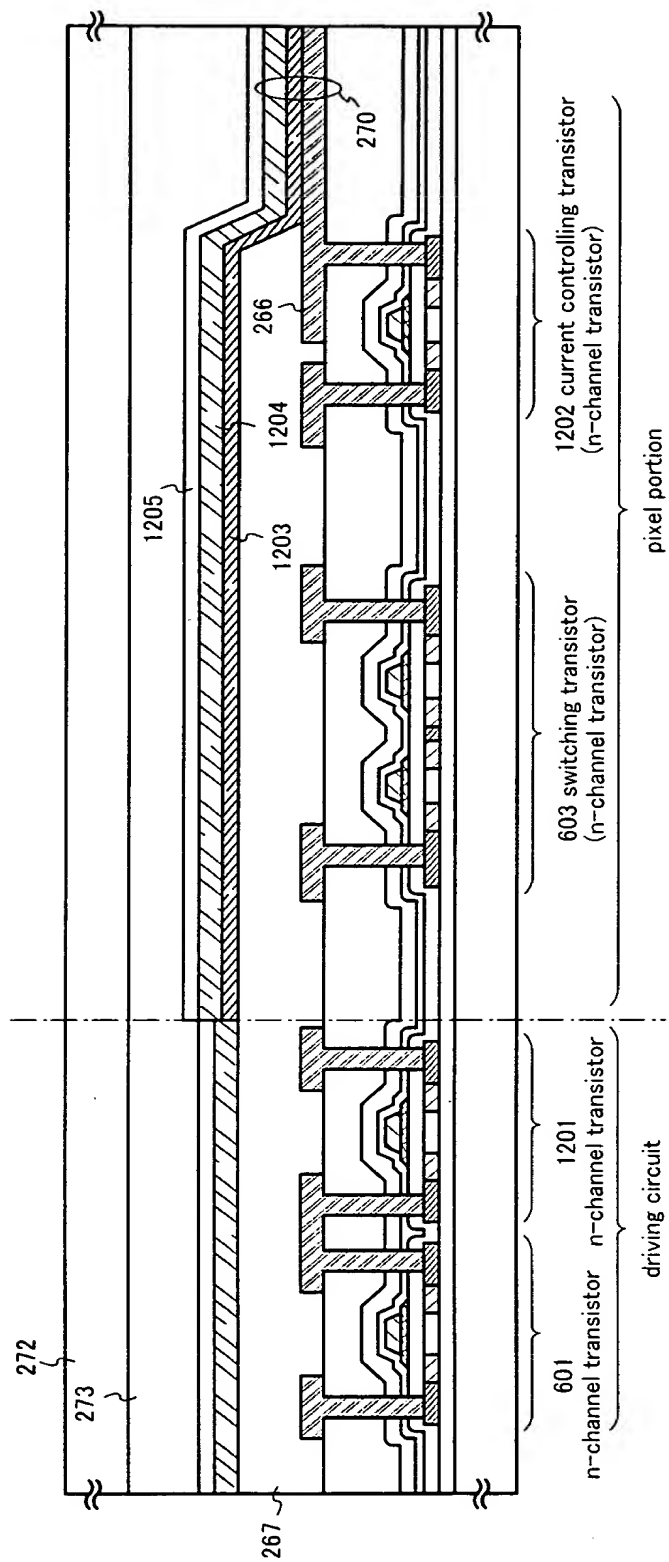


Fig. 14

Fig. 15

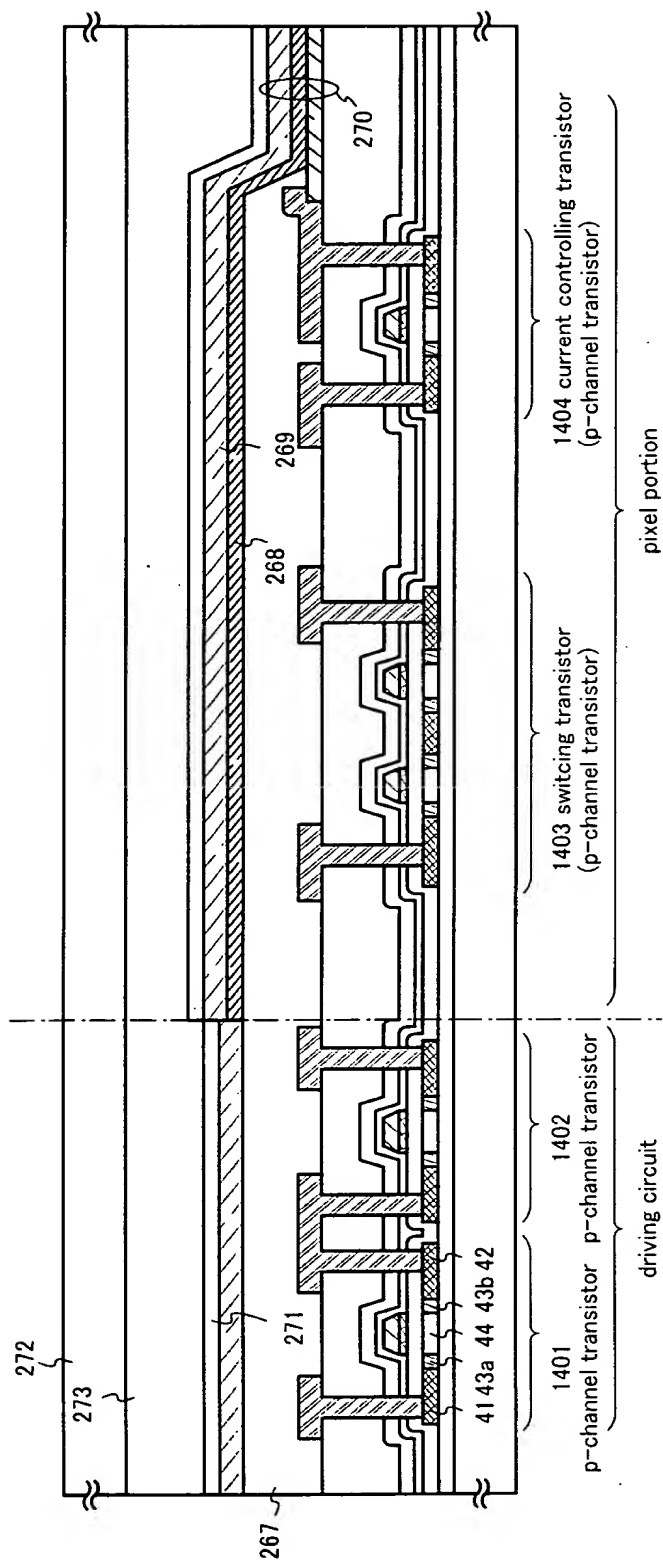


Fig. 16

p type impurity dope step

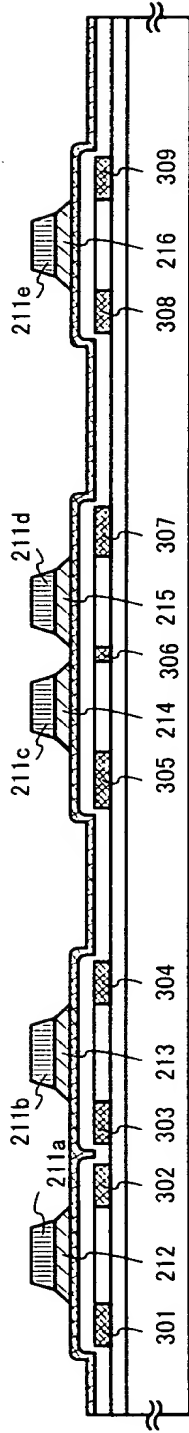


Fig. 17A

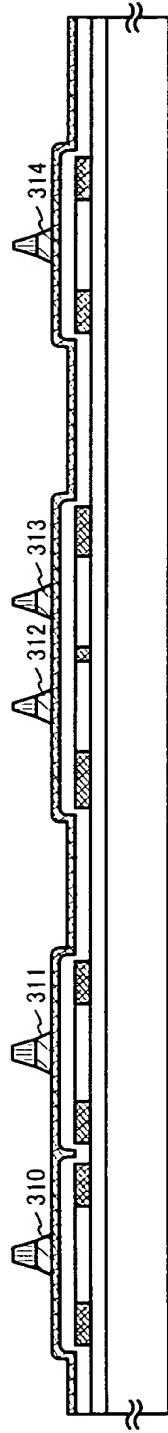


Fig. 17B

p type impurity dope step

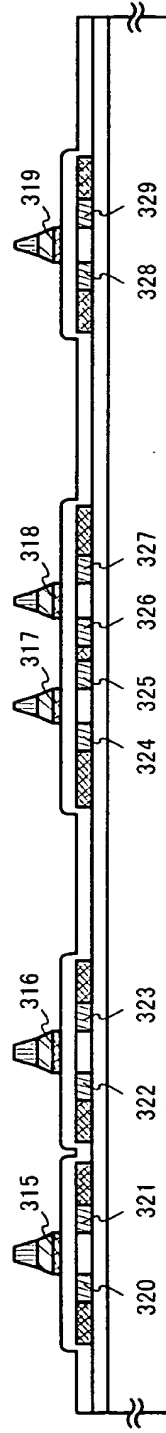


Fig. 17C

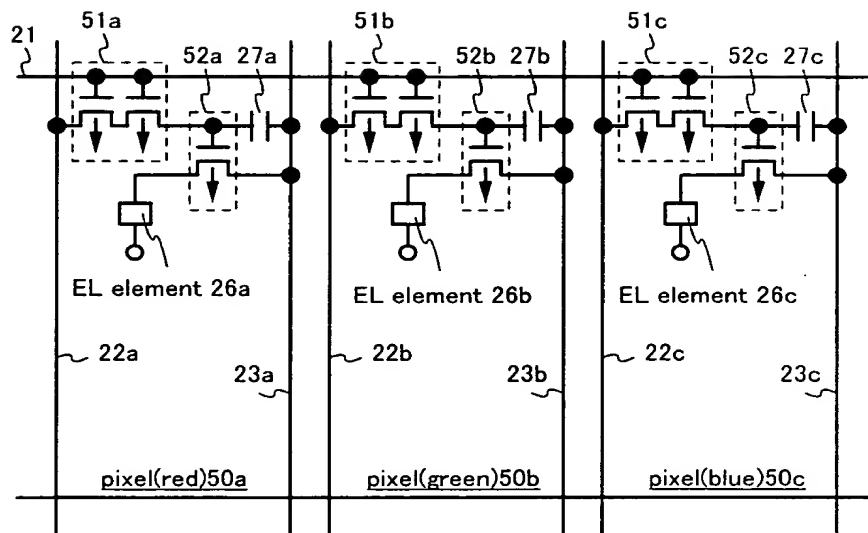


Fig. 18

FIG. 19A

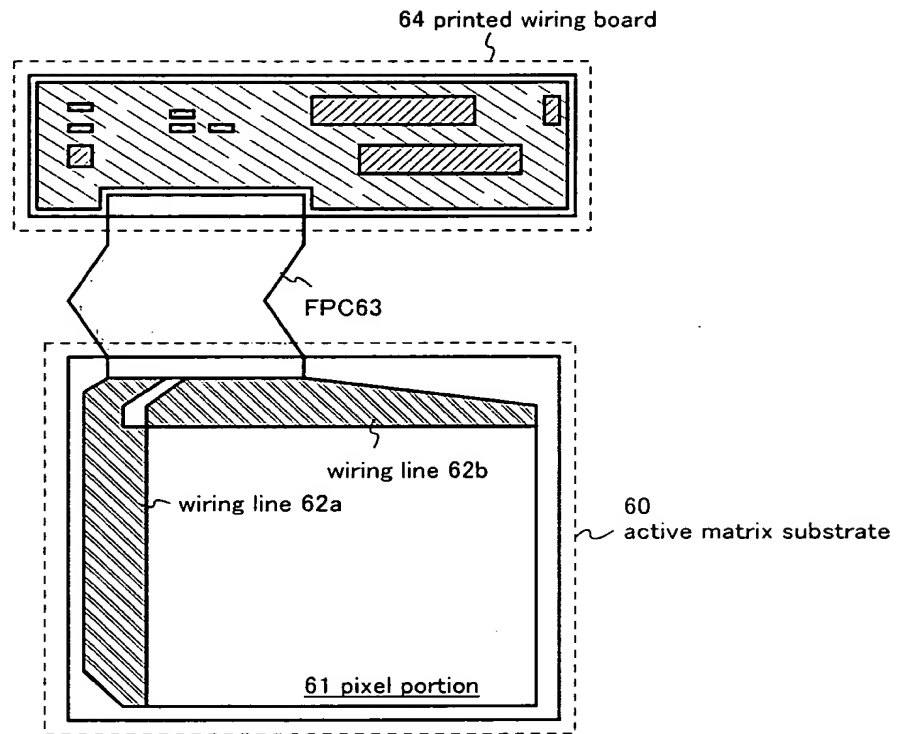


Fig. 19A

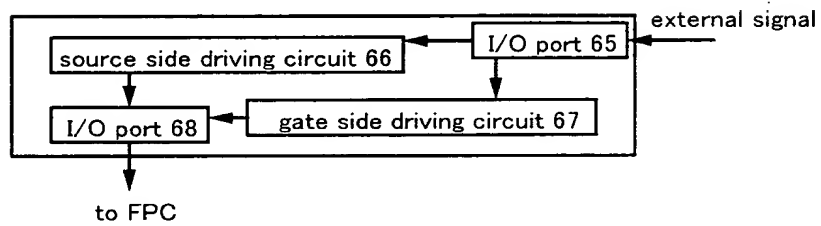


Fig. 19B

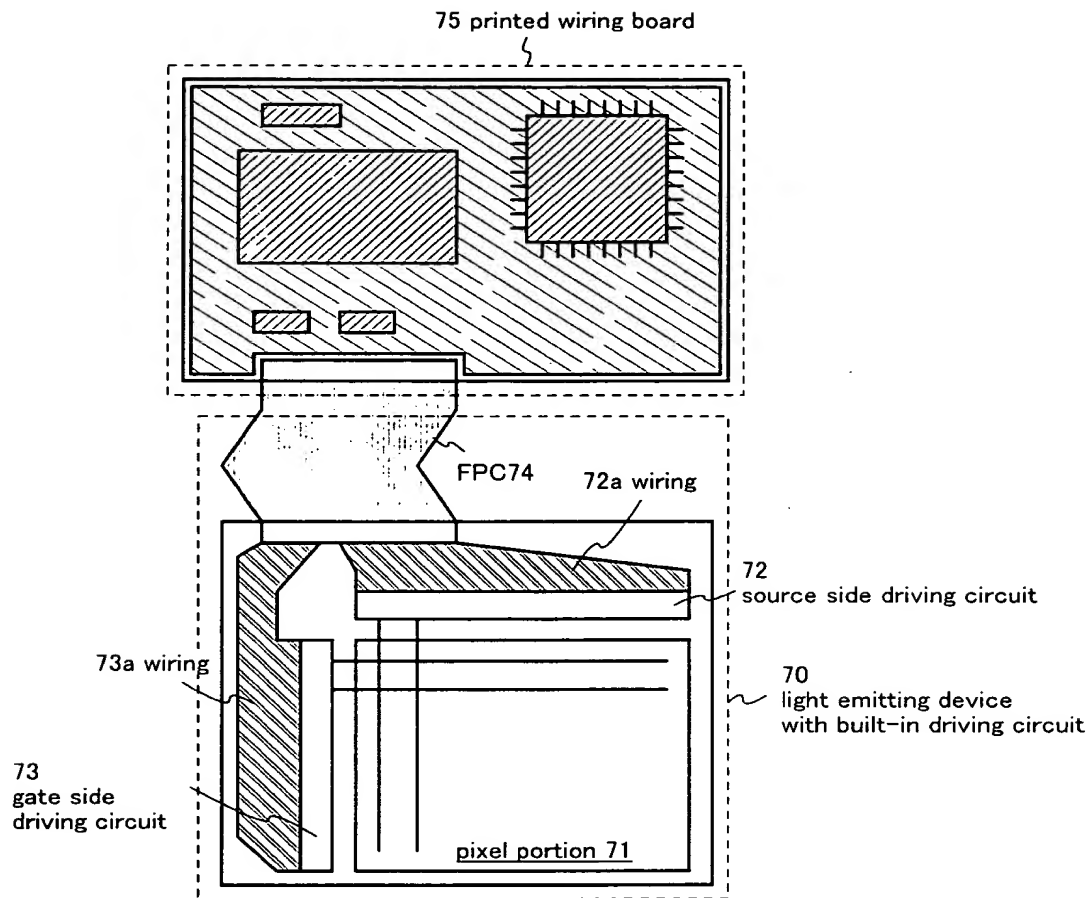


Fig. 20A

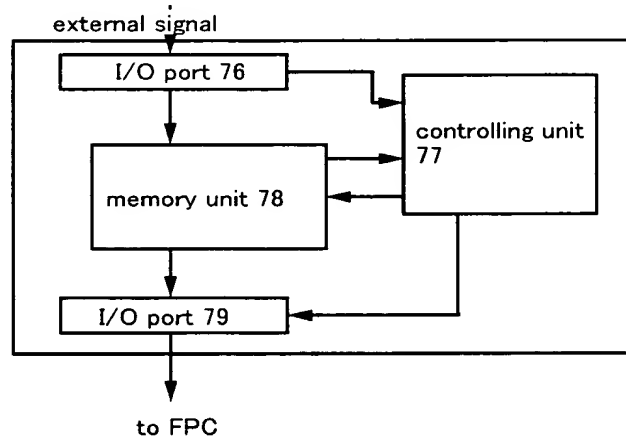


Fig. 20B

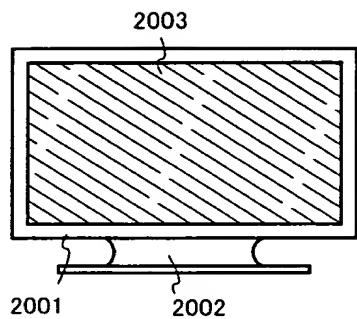


Fig. 21A

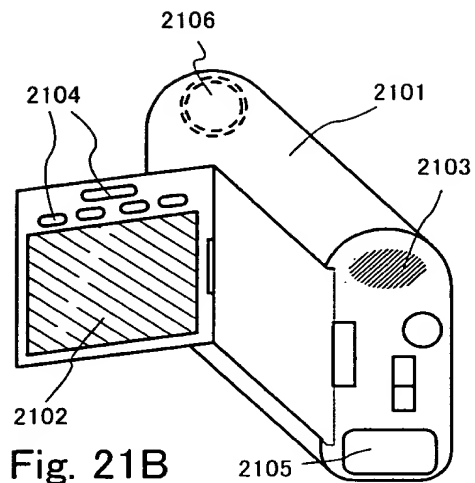


Fig. 21B

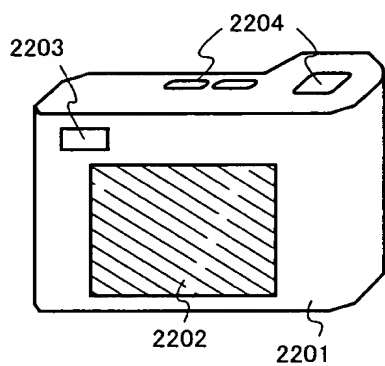


Fig. 21C

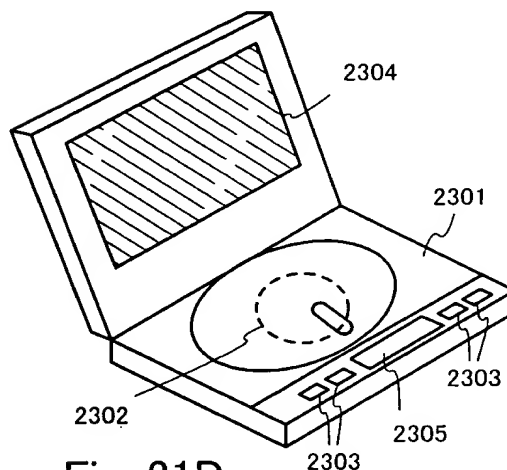


Fig. 21D

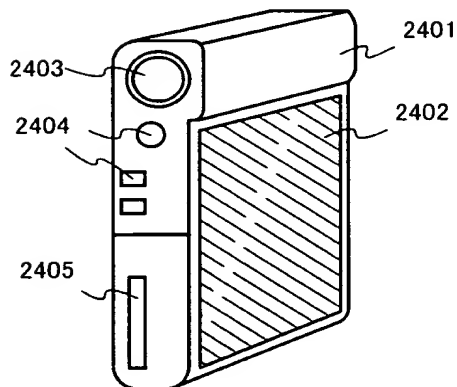


Fig. 21E

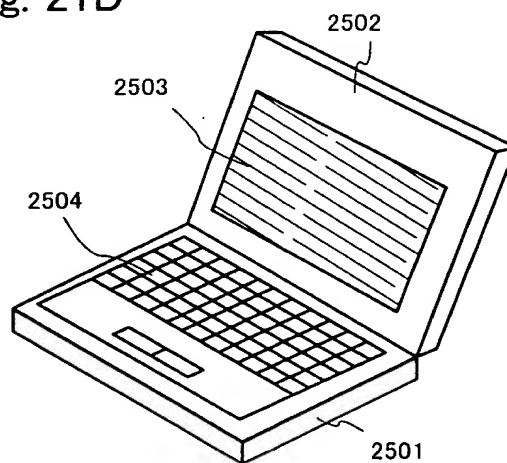


Fig. 21F

FIG. 22A-22F

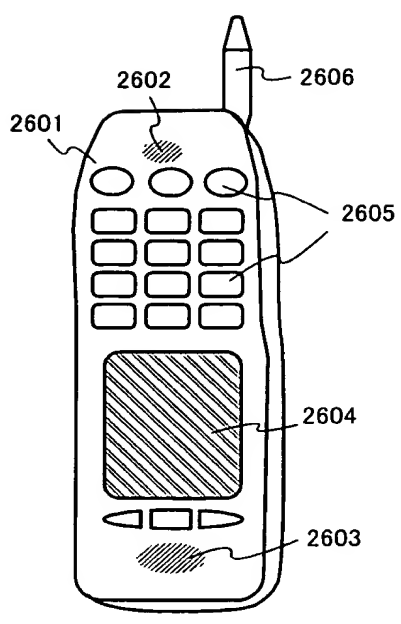


Fig. 22A

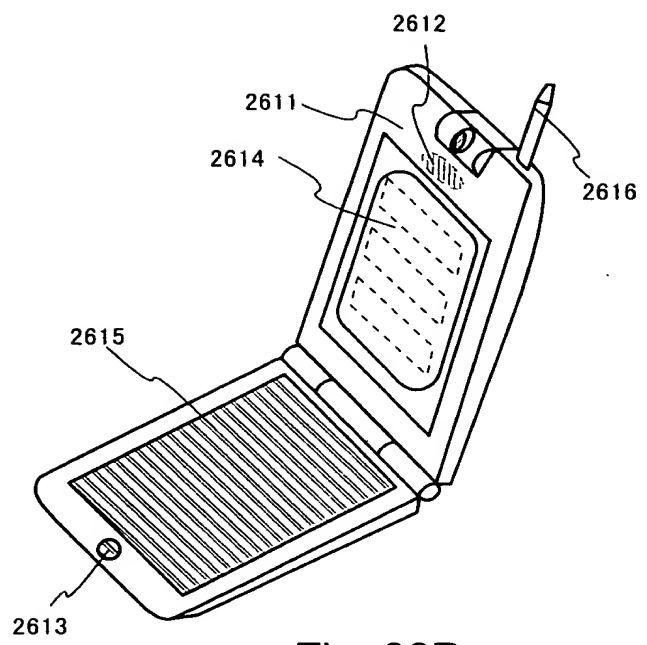


Fig. 22B

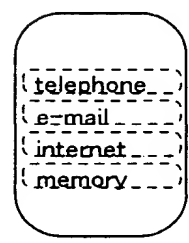


Fig. 22C

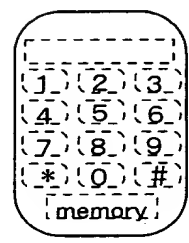


Fig. 22D

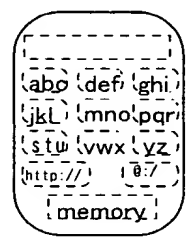


Fig. 22E

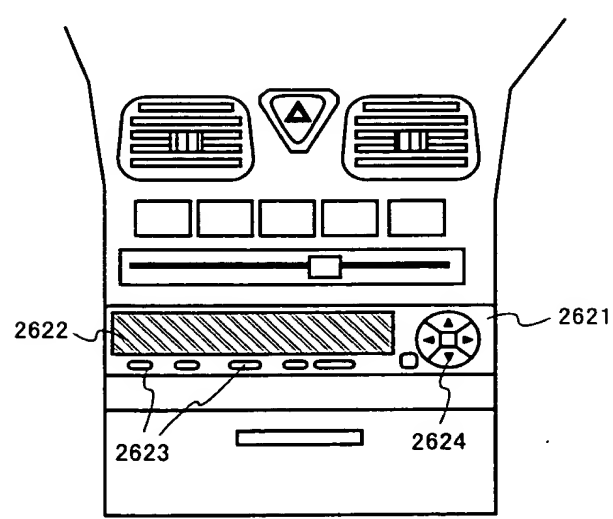


Fig. 22F

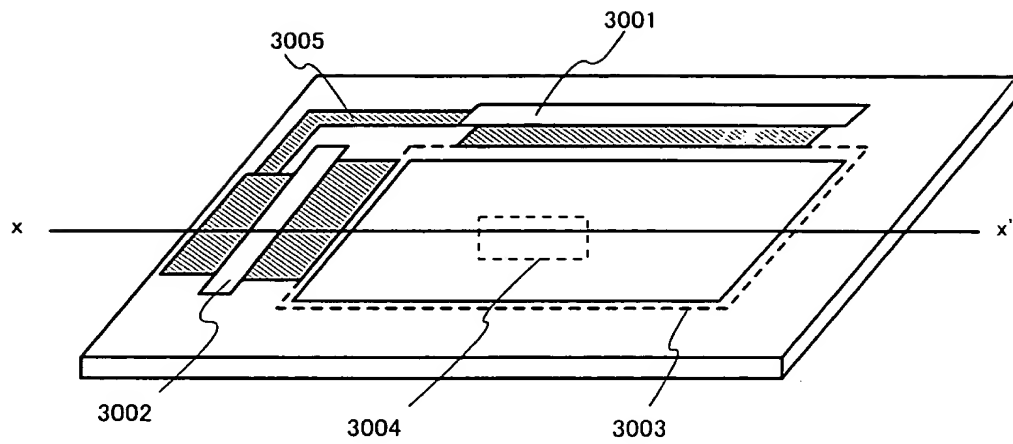


Fig. 23A

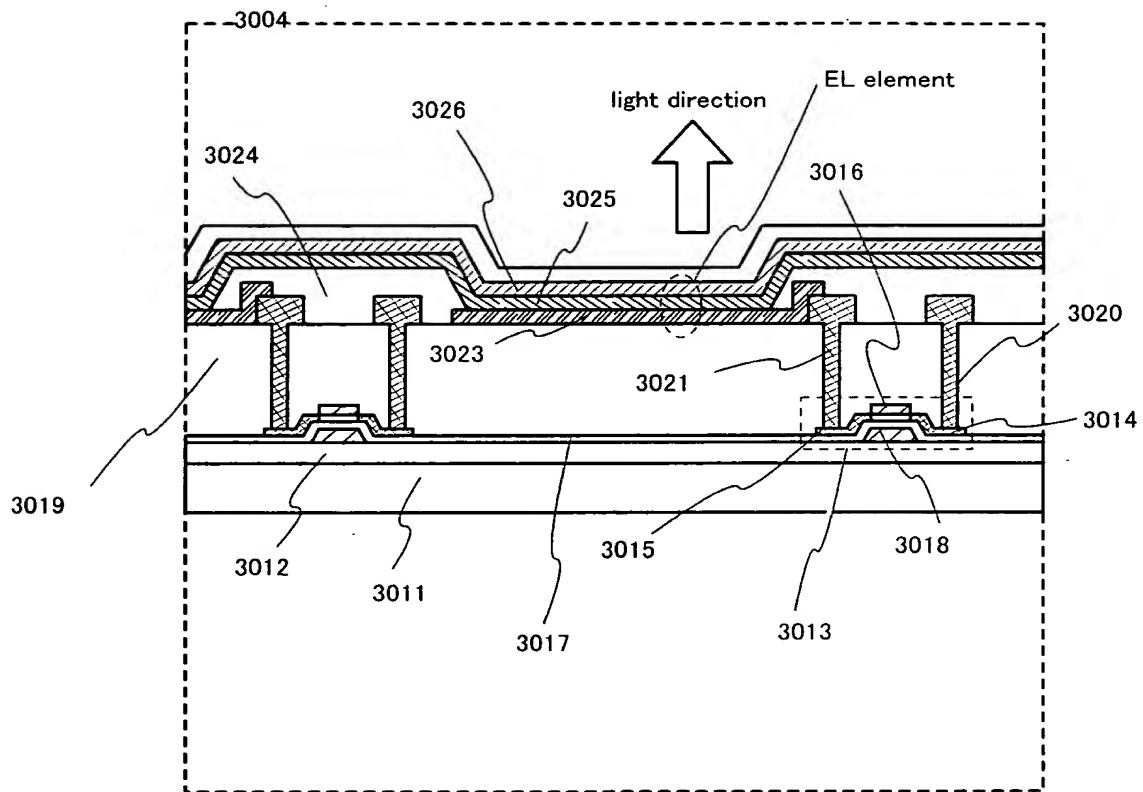


Fig. 23B

FIG. 24

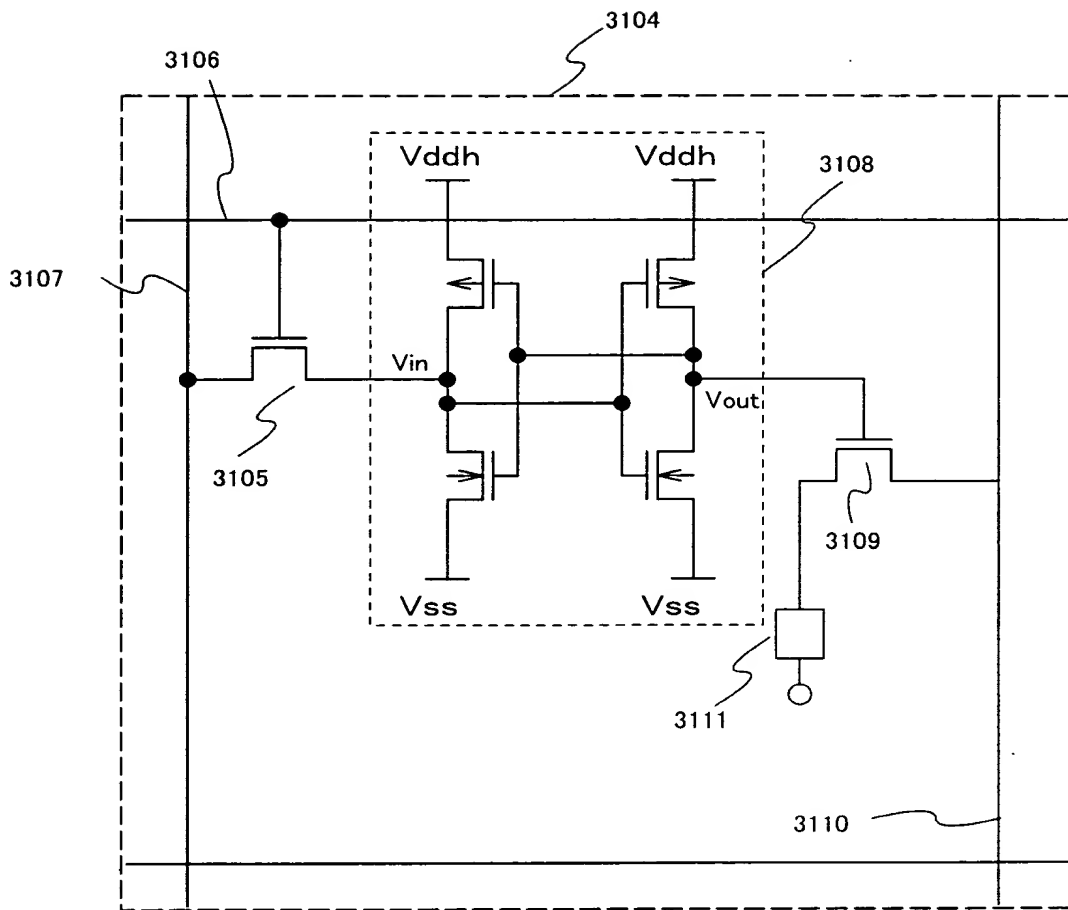


Fig. 24

104230-16222660

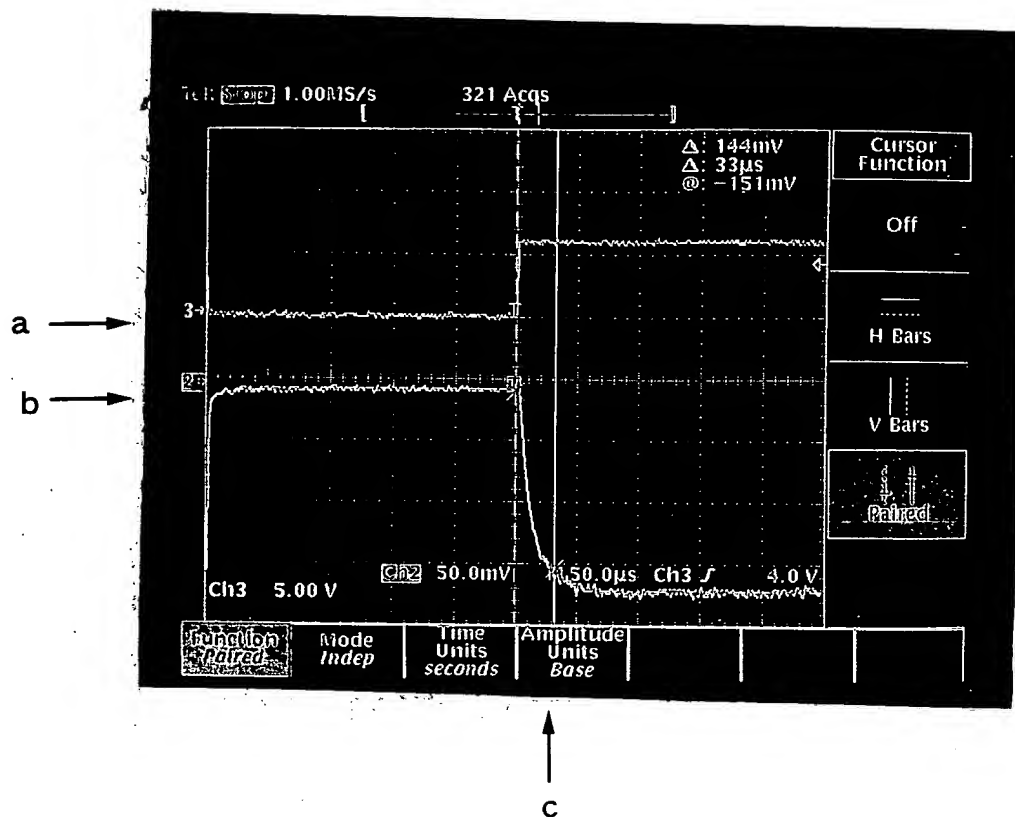


Fig. 25